doi:10.3969/j.issn.1673-9833.2023.05.006

# 锂离子电池液冷管路优化

陈 皓<sup>1</sup>,赵福云<sup>1,2</sup>,谭志成<sup>1</sup>,姚奕合<sup>1</sup>

( 1. 湖南工业大学 土木工程学院, 湖南 株洲 412007; 2. 武汉大学 动力与机械学院, 湖北 武汉 430072 )

摘 要: 锂离子电池热管理系统是提高冷却效率的关键。针对车载锂离子电池的液冷通道管路,对其进行设计优化,建立了相应的数值模型,并通过实验验证了数值模型的可行性。研究结果表明: 微通道冷却系统在高倍率放电下,可以将电池的温差从 9.74 K 降低至 4.71 K,最高温度从 309.74 K 降低至 305.13 K,都在最佳工作范围之内。通过对冷却液温度的研究发现,只通过降低冷却液温度并不能改善电池的温度环境,需要一个合适的温度来保障电池的温差,并且冷却液温度与电池的温差呈现出线性关系,电池的温差随着冷却液的温度降低而增大。

关键词: 锂离子电池; 电池热管理系统; 微通道冷却; 温差

中图分类号: U469.7; TM912 文献标志码: A 文章编号: 1673-9833(2023)05-0044-08

**引文格式:** 陈 皓,赵福云,谭志成,等.锂离子电池液冷管路优化[J]. 湖南工业大学学报,2023,37(5):44-51.

# Optimization of Liquid Cooling Pipeline for Lithium-Ion Batteries

CHEN Hao<sup>1</sup>, ZHAO Fuyun<sup>1, 2</sup>, TAN Zhicheng<sup>1</sup>, YAO Yihe<sup>1</sup>

(1. College of Civil Engineering, Hunan University of Technology, Zhuzhou Hunan 412007, China; 2. School of Power and Mechanical Engineering, Wuhan University, Wuhan 430072, China)

**Abstract:** Due to the fact that the thermal management system of lithium-ion batteries is the key to the improvement of cooling efficiency, a corresponding numerical model has been established to optimize the design of the liquid cooling channel pipeline for vehicle lithium-ion batteries, with the feasibility of the numerical model to be demonstrated through experimental verification. The results show that under a high-rate discharge, the microchannel cooling system can reduce the temperature difference of the battery from 9.74 K to 4.71 K and the maximum temperature from 309.74 K to 305.13 K, both within the optimal operating range. A research on the coolant temperature reveals that an improvement of the temperature environment of the battery cannot be achieved by simply reducing the coolant temperature. A suitable temperature is needed to ensure the temperature difference of the battery, with a linear relationship between the coolant temperature and the temperature difference of the battery. Meanwhile, the temperature difference of the battery increases as the coolant temperature decreases.

**Keywords:** lithium-ion battery; battery thermal management system; microchannel cooling; temperature difference

收稿日期: 2022-04-11

基金项目:湖南省科技创新领军人才基金资助项目(2020RC4032)

作者简介: 陈 皓(1998-), 男, 江西抚州人, 湖南工业大学硕士生, 主要研究方向为绿色储能及电子器件热管理,

E-mail: 1368113191@qq.com

通信作者:赵福云 (1977-),男,湖南茶陵人,湖南工业大学教授,博士,主要研究方向为城市通风,电子器件热管理等, E-mail: 1065093523@qq.com

# 0 引言

锂离子动力电池具有能量密度高、循环寿命长、电荷保持能力高且无记忆效应等优点,在混合动力以及电动汽车等多种电动设备中得到了广泛应用<sup>[1-2]</sup>。现阶段,动力电池作为目前比较主流的化学电源,在内部由化学能转化为电能时,因发生复杂的电化学反应,而产生大量热量。大量热量在电池内部聚积时,会加快化学反应速率,使得电池温度不断升高,这可能导致漏液、爆炸等情况,电池的寿命以及各使用人员的安全得不到有效的保障。因此,电池热管理系统在保障电池运行中具有重要作用<sup>[3-4]</sup>。

电池组内部温度分布均匀性控制是当前的研究 热点。电池温度分布不均匀,不仅会造成电池容量失 衡,还会直接导致电池性能折损,破坏电池的同一性 及可循环性 [5-7]。因此,需保证电池内部温度的均匀 性,电池温差应控制在 0~5~℃,最高温度范围控制 在 20~50~℃,以此使电池的性能保持最大优势 [8]。

市场上现存有方形、圆柱形和薄片型 3 种结构形 式的锂离子电池。方形锂离子电池尺寸的可塑性和灵 活性较强,圆柱形电池形状单一,且需特定装置固定 配合。方形钾离子电池包的冷却方式分为空气冷却、 液体冷却、热管冷却以及相变冷却。空气冷却仅依 靠空气与电池的对流换热来带走锂离子电池电化学 反应产生的热量, 空气的热导率较低, 散热效果难 以满足锂电池的正常需求[9]。相变材料存在导热性能 低、封装困难等缺点,需要填充材料如金属填料[10]、 膨胀石墨[11]、翅片[12]等来增加其散热性,提高导热率。 液体冷却可增加电池与液冷板之间的换热效果, 并且 液冷具有较好的温度均匀性,相较于空气冷却,冷却 效率以及 NVH (Noise、Vibration、Harshness) 性能 更佳 [13]。Huo Yutao 等 [14] 针对方形锂电池设计了微 通道冷却,对比不同微通道的数量、冷却液入口方向 的模拟,结果显示冷却液存在一个最优质量流量,如 果超过该流量, 电池冷却系统的效率会降低。王晓斌 等[15]设计了液冷板不同工艺类型、流道、尺寸的对 比实验,发现在保证电池温度以及合理温差范围内, 要平衡电池与液冷板间纵向导热能力和横向导热能 力。动力锂离子电池的高能耗、快速充电已是基本要 求, 所以在高倍率充放电情况下, 对电池热管理系统 进行优化, 使电池的温差及最高温度在合理范围内。

因此,本文拟针对方形锂离子电池液冷散热方式 进行模拟仿真实验。对电池的管道进行重新优化设 计,将原模型的液冷板修改为微通道液冷方式,并且 在电池的两侧增加液冷管道,增加电池与液冷板的接 触面积,同时增强对电池的固定包裹性,以有利于提 升电池的安全性能。通过数值模拟,对比优化前后的 最大温差以及最高温度可知,在高倍率放电的情况 下,更改冷却液入口温度,优化后的电池最大温差以 及最高温度皆在其最佳工作范围之内。

# 1 锂电池组模型建立

## 1.1 电池生热速率及传热速率模型

模拟车载锂离子动力电池液冷管路系统由正负极、隔膜、电解液、集流体、硅胶、液冷板等组成。电池生热速率是电池热管理中评价和分析的重要基础。电池的结构、使用条件、电流密度、荷电状态以及环境温度等众多因素,在试验中具有非线性并且难以准确测量 [16]。

在单体电池的生热速率计算方面,目前广泛使用 Bernardi 电池生热速率方程计算<sup>[17]</sup>,计算式如下:

$$q = \frac{1}{V} \left( E_{\rm OC} - U - T \frac{\mathrm{d}E_{\rm OC}}{\mathrm{d}T} \right) = \frac{1}{V} \left( IR + T \frac{\mathrm{d}E_{\rm OC}}{\mathrm{d}T} \right)_{\circ} \quad (1)$$

式中: V为电池体积; U为工作电压; I为工作电流; R 为电阻;  $E_{OC}$  为开路电压; T为电池内起始温度,

取 300 K;  $T \frac{dE_{oc}}{dT}$ 为可逆反应热, 充电吸收热量为负, 放电产生热量为正。

#### 1.2 热物性参数

电池组件各部分材料不同,所以各组件的热物性 参数各不相同。锂电池的结构为层叠结构,其导热系 数在不同方向上不同。锂电池各层并联,厚度方向电 池各层结构串联。根据串并联原理,可以估算各个 方向的热物性参数。其中 x 为厚度方向,y、z 分别 为平行于电池方向面的水平方向和竖直方向,x、y、 z 方向的导热系数分别为

$$K_{x} = \sum L_{i} / \left(\sum L_{i} / k_{i}\right), \tag{2}$$

$$K_{yz} = \left(\sum L_i k_i\right) / \sum L_{i\circ} \tag{3}$$

式(2)(3)中:  $L_i$ 为相应方向电池各部分的长度;  $k_i$ 为相应方向电池各部分的导热系数。

电池单体的定压比热容  $C_p$  一般被看做常数,其计算公式为

$$C_{p} = \frac{1}{m_{b}} \sum C_{i} m_{i} \, _{\circ} \tag{4}$$

式中:  $C_i$  为各电池组件的比热容;  $m_i$  为各电池组件的质量;  $m_b$  为电池总质量。

电池的平均密度为电池的总质量与电池的总体积之比,其表达式为

$$\rho = m_{\rm b}/V_{\odot} \tag{5}$$

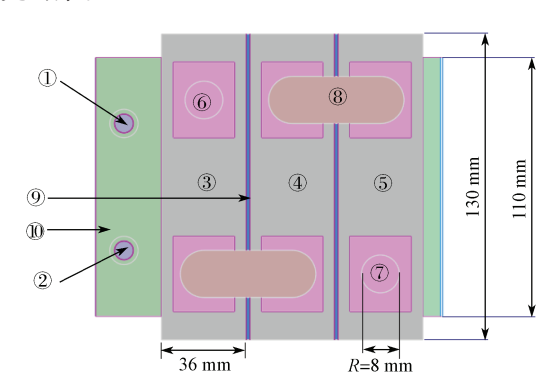
电池材料的热物性参数如表 1 所示。

表 1 电池材料的热物性参数 Table 1 Battery material properties

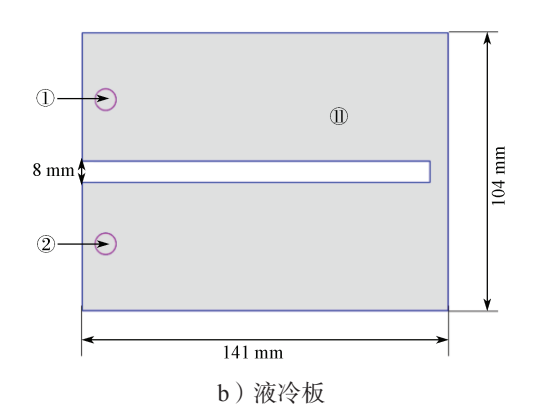
材料	密度/(kg·m <sup>-3</sup> )	比热容 / ( J·kg <sup>-1</sup> ·K <sup>-1</sup> )	热导率 / ( W·m <sup>-1</sup> ·K <sup>-1</sup> )
电芯	2 092	678	<i>x</i> /0.5 、 <i>y</i> /18.5 、 <i>z</i> /18.5
铜	8 978	381	387.6
铝	2 719	871	202.4
硅胶	2 750	1 500	2
水	998.2	4 182	0.3

#### 1.3 物理模型

锂离子动力电池模组如图 1 所示,模组结构为 1P3S(一并联三串联)。整个模组由 3 块方形电池、导热元件以及方形液冷通道组成。导热元件为绝缘硅胶,厚度为 2 mm,与电池之间紧密贴合。由于硅胶有良好的导热性能,在电池运行产生大量热量时,可以使热量分布更加均匀。液冷板在电池底部,通过液冷板内流体不断流动,带走电池运行时产生的热量,从而达到降温效果。由于电池包相同,冷却结构中不同单元的传热机制相同,因此从中选取一个单元作为研究对象。



a) 电池热管理系统俯视图



## 图 1 电池模组几何模型

Fig. 1 Battery module geometric modeling

单个锂离子电池的相关参数如下:尺寸为130 mm×36 mm×108 mm;标称容量为60 A·h;正极材料为铝,负极材料为铜;额定电压为3.7 V,最小终止电压为3.0 V,最大终止电压为4.3 V。

#### 1.4 网络划分

首先在 Space-claim 中建立模型,再将其导入 Fluent-mesh 中,对其几何模型进行网格划分,在电池外壳及液冷板外部设置较大的网格尺寸。液冷通道部分设置比较精细的网格尺寸,最小尺寸为 0.4 mm,最大尺寸为 4.5 mm,电池网格模型如图 2 所示。



图 2 电池网格模型 Fig. 2 Battery grid model

在计算中,网格精度对计算结果以及解的收敛性影响较大,在对模型边界条件设定时需要保证精度值准确。对模型的网格独立性进行了验证,得到的结果如图 3 所示。1C放电时(C为放电倍率),在4 种不同的网格数量下,模拟出电池的最高温度。由图 3 可知,随着网格数量的增加,电池最高温度在网格数量低于 6.7×10<sup>5</sup> 时,最高温度有明显的变动,之后的温度变化趋于平稳收敛。为减少计算量,最终取软件网格生成数量为 675 068。

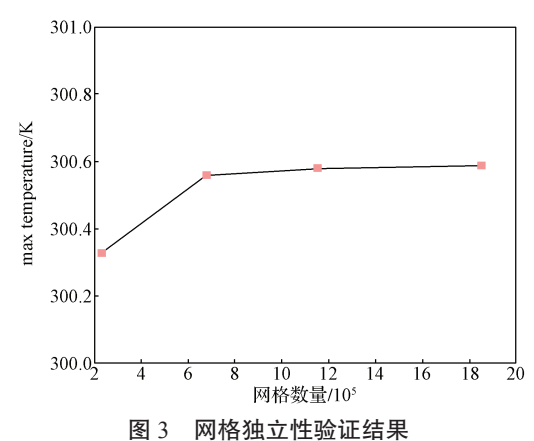


Fig. 3 Grid independence verification results

## 1.5 初始和边界条件

模块的初始温度以及冷却液温度为300 K,工作环境温度固定为300 K。正极为铝,负极为铜,电芯

以及硅胶等材料物性参数见表 1。液体入口设置为速度入口,速度值为 0.1 m/s;出口设置为压力出口,表压设置为 0 Pa,壁面与外界空气进行热交换,壁面的传热系数为 5 W/( m²•K )。电池轴向面为对称结构,与其接触的表面均为耦合面。

数值计算采用 Fluent 对电池模组进行瞬态模拟,空间导数项采用二阶迎风差分格式,时间导数项采用一阶隐式格式,使用 SIMPLE 方法处理压力 - 速度的耦合。

#### 1.6 电池模型的试验验证

为了保证数值计算的准确性,本次模拟将与文献 [18] 所测得试验值进行对比分析,电池在 1C 放电以及冷却液流速为 0.1 m/s 的情况下,将试验的 3 块电池的平均放电温度与数值模拟平均温度进行对比,结果如图 4 所示。由图 4 可知,电池在 3 500 s 内试验放电温度与模拟值温度趋势相同,试验值最高温度为 300.95 K,模拟值相对温度为 300.83 K,试验值与模拟值在一个小时内最大的温度绝对误差为 0.12 K,最大相对误差在 1% 内,足以说明模拟模型的可靠性。

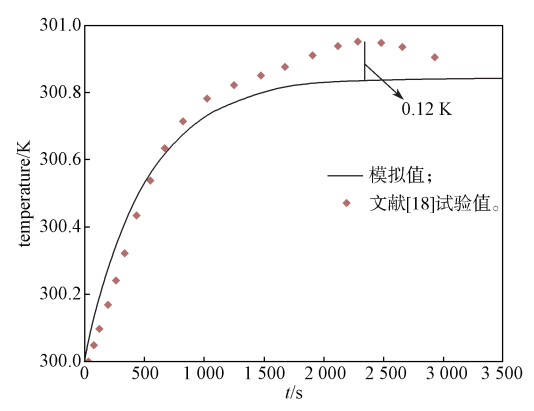


图 4 电池在 1C 放电时模拟值与文献 [18] 试验值对比曲线 Fig. 4 Comparison curve between simulated values of battery discharge at 1C and experimental values in reference [18]

# 2 热仿真结果分析

## 2.1 电池组温度分布对比分析

截取电池竖向截面中心平面如图 5 所示。

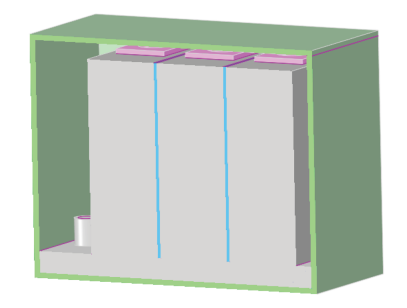
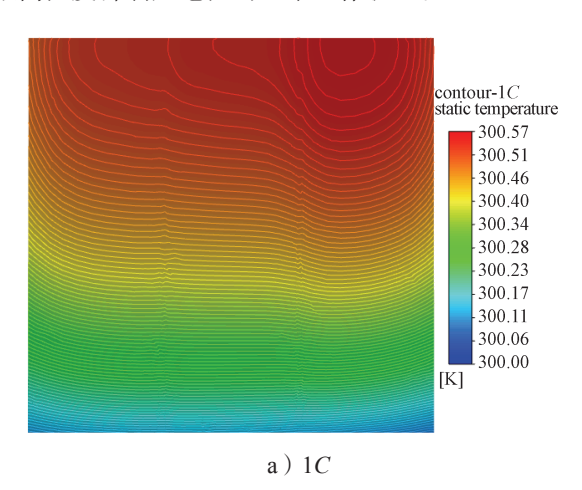
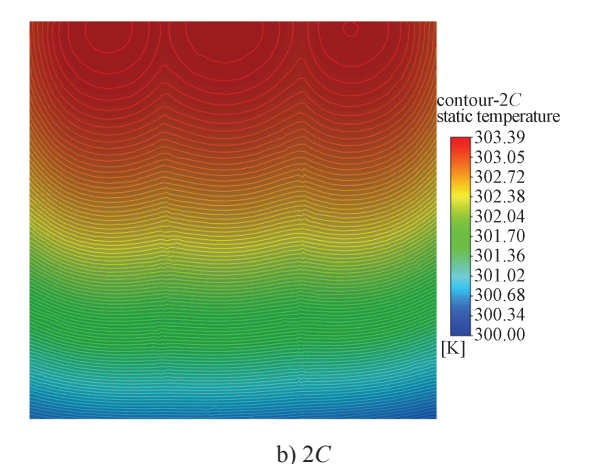


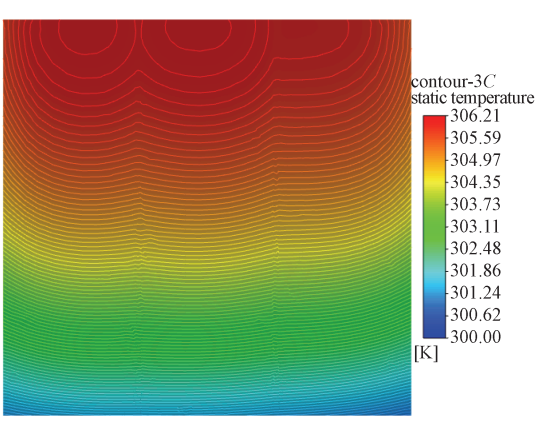
图 5 电池竖向截面中心平面图

Fig. 5 Battery cross-section selection

模拟了 4 种不同放电倍率下放电结束时的电池温度,不同工况下,电池温度的截面分布云图如图 6 所示,电池表面温度变化及温差如图 7~8 所示。由图 6~8 可知,电池的竖向温度呈现出阶梯状,越靠近液冷板处的温度越低,且随着电池放电倍率的增加,电池的横向温度分布更为均匀。电池的最高温度每增加 1C 的放电倍率,最高温度都升高 3 K 左右,呈一定的线性关系,在 1C 和 4C 的工况下,两者最高温度相差 9.17 K,温度上升十分明显。4 种工况下的电池最高温度都满足电池的正常工作状态。







c) 3C

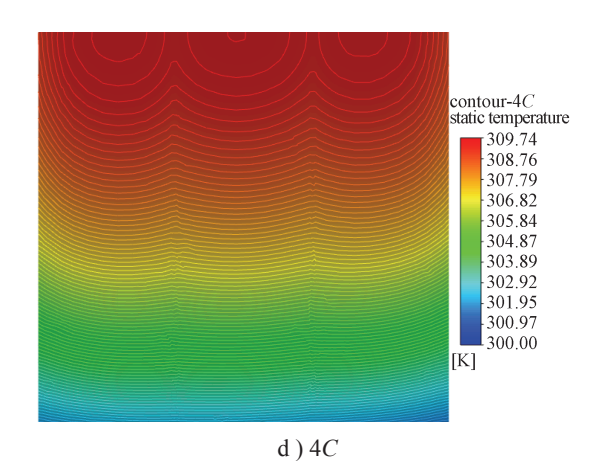


图 6 不同工况下的温度云图

Fig. 6 Temperament nephogram under different operating conditions

由图 7~8 可知,在 1C以及 2C的放电倍率下,电池的最高温度以及温差都在合理的安全范围之内。在 3C和 4C高倍率放电下,电池的温差分别达到 6.21,9.74 K,已经超过电池的最佳工作温差,并在 4C的工况下,其温差已超过最佳温差的 95%。故需对电池进行进一步的优化。

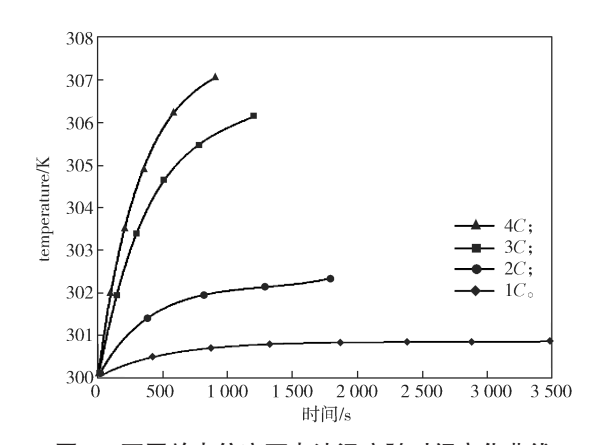


图 7 不同放电倍率下电池温度随时间变化曲线 Fig. 7 Battery temperature variation curves over time at different discharge rates

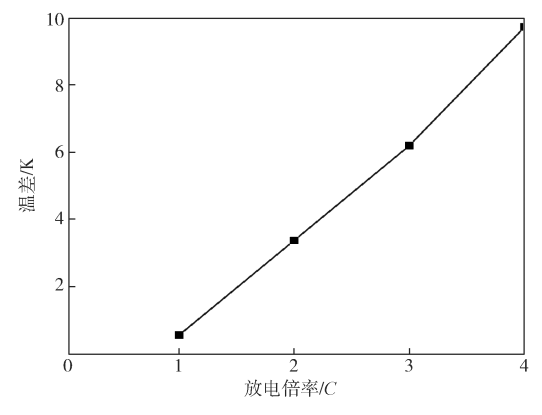


图 8 不同放电倍率下的温差

Fig. 8 Temperature difference at different discharge rates

#### 2.2 液冷板温度分析

液冷板温度分布云图如图 9 所示。冷却液在液冷板内不断流动,通过对冷却液与液冷板之间的对流换热,将电池运行产生的热量与外界进行热交换。液冷板在 4C 的工况下,内部温差达 3 K,说明该模型的热管理系统对电池的降温具有一定效果,温度较高区域主要集中在第二块以及第三块电池部分。

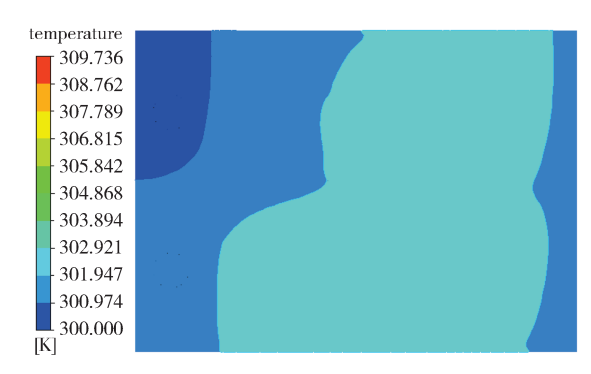


图 9 液冷板温度分布云图

Fig. 9 Cloud map distribution of the liquid cooling plates

冷却液迹线图如图 10 所示,在冷却液流动的过程中,交汇处的流速较高,液体速度方向杂乱,形成较大涡流,影响液体流动速度,且形成涡流的地方与板间温度相衬,导致热管理系统的冷却效率降低。

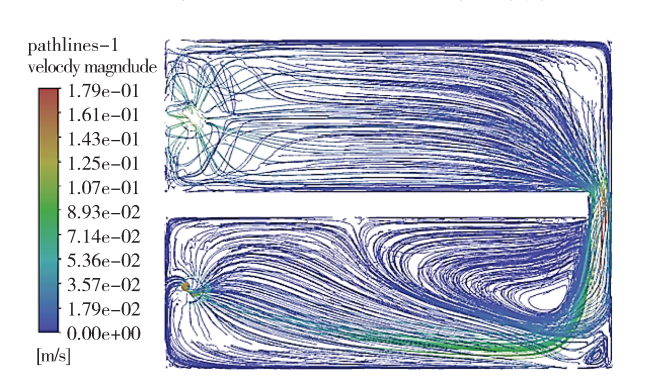
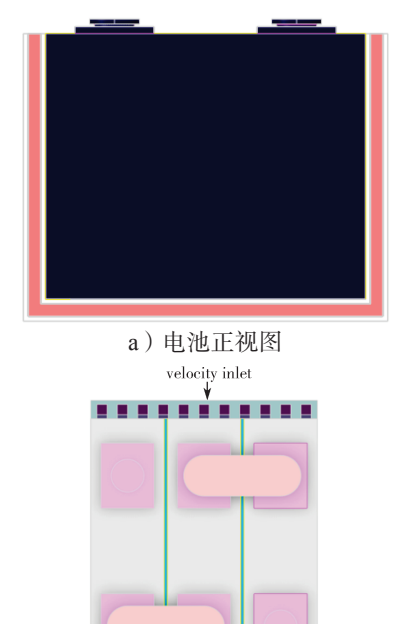


图 10 冷却液迹线图 Fig. 10 Coolant trace diagram

3 微通道热管理系统

## 3.1 微通道热管系统数值模型

基于上文所述模型的涡流影响,在电池高倍率放电工况下,电池温差过大,而微通道热管理模型可以有效地消除涡流影响,降低电池模组的最高温度和温差,故采用微通道热管理系统进行优化,优化后的几何模型示意图如图 11 所示。微通道热管理系统共有 11 个通道,通道人口与出口都为 5 mm 的正方形,每个通道之间相距 5 mm,整个微通道冷却板的宽度为 9 mm。



pressure outlet b) 电池热管理系统俯视图

图 11 微通道电池模组示意图

Fig. 11 Microchannel battery modules

对新模型重新进行网格验证, 所得结果如图 12 所示。由图 12 可知,在 7×105 网格之后的温度趋于 收敛, 所以为减少计算量, 优化模型采用 728 183 个 网格数量进行数值模拟,所得的模型如图 13 所示。

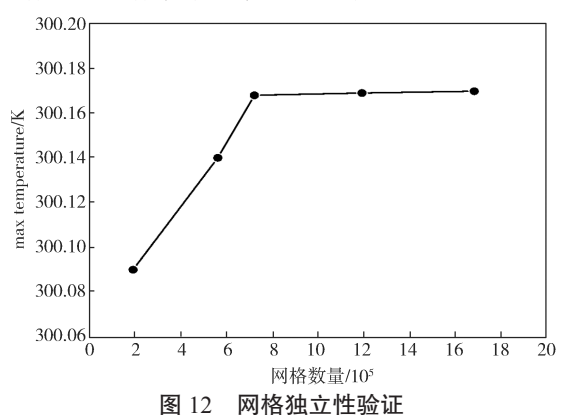


Fig. 12 Grid independence verification

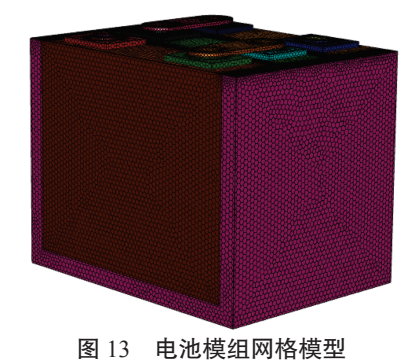


Fig. 13 Battery module grid model

## 3.2 结果与分析

原电池模组在 1C、2C 放电工况下,最高温度以 及温差都在正常范围之内, 所以优化模型只针对于该 电池模组在4C工况下的最高温度以及温差进行分析。

模型在 4C 工况下,温度云图如图 14 所示,被 冷却板所包裹的地方温度较低,温度较高的地方主要 集中在中上部分,相较于原模型,高温区域明显减少。 最高温度为 305.13 K, 最低温度为 300.42 K, 温差为 4.71 K, 在合理范围内, 达到预期优化目标。但是, 距离临界最佳温差较近,尝试降低冷却液温度来进一 步降低温差。

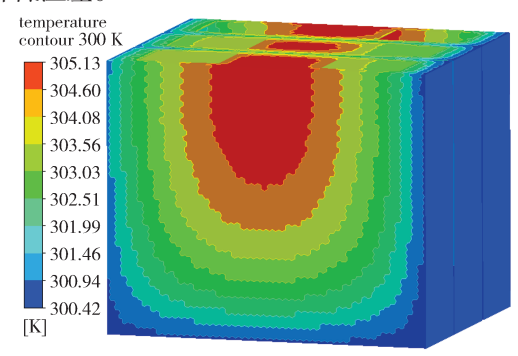
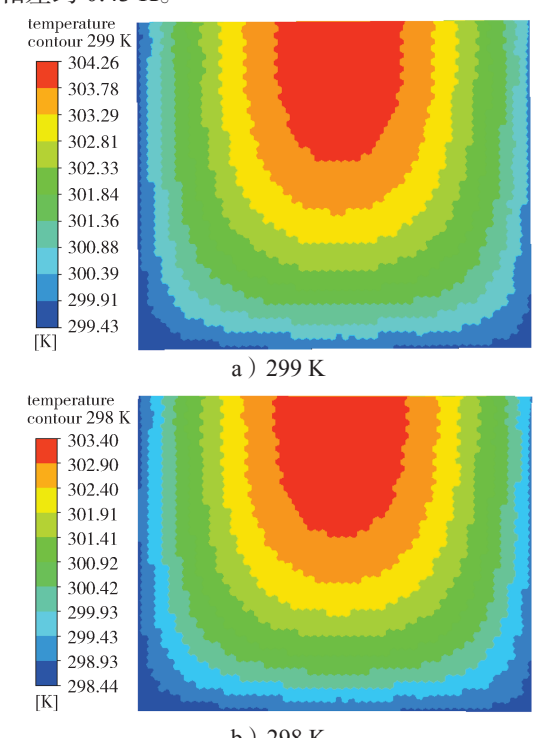
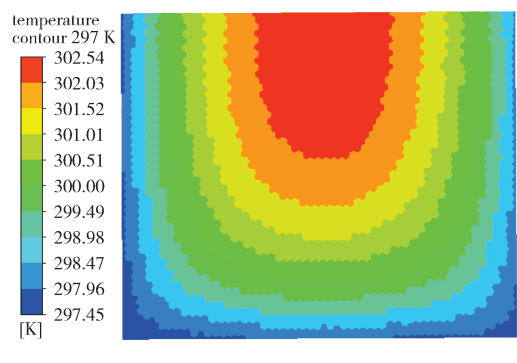


图 14 优化模型温度云图

Fig. 14 Optimized temperature cloud map of the model 将冷却液的温度降低至 299, 298, 297, 296 K 时分 别进行模拟,最大限度降低锂离子电池模组在高倍率 放电工况下的温差。4种工况模拟云图如图 15 所示, 所选取的截面为③号电池平面,随着冷却液温度降 低, 电池的最高温度明显降低, 最低温度与冷却液温 度相差约 0.43 K。



b) 298 K



c) 297 K

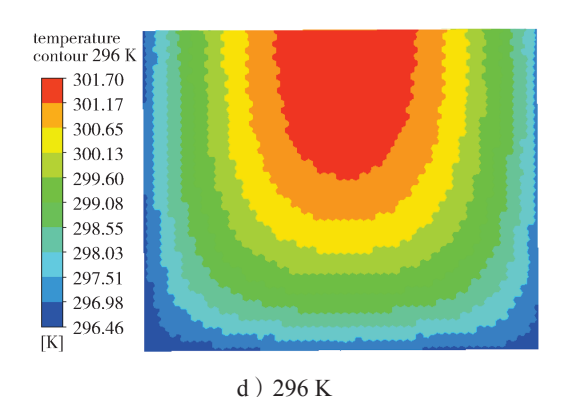


图 15 4C 放电下不同冷却液温度电池的温度云图 Fig. 15 Cloud map of the battery temperature at different coolant temperatures under 4C discharge

优化模型的温差如图 16 所示。由图 16 可以看出,随着冷却液温度降低,电池的温差并没有得到很好的优化。相反,冷却液温度越低,电池的温差越大。 当冷却液温度在 296 K 和 297 K 时,电池的温差达 5 K 以上或接近 5 K,未达到目标预期。

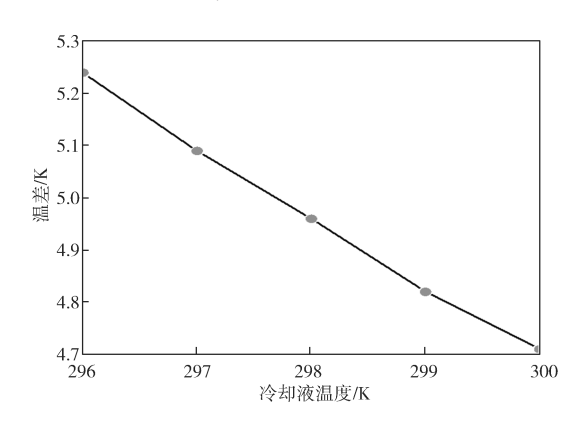


图 16 优化模型温差

Fig. 16 Temperature difference of the optimized model

原模型中,电池在 3*C*、4*C* 放电工况时,电池的温度以及温差明显上升,并且已经超出锂离子电池最佳工作温度范围。在 4*C* 工况下,模型优化前后电池的温差以及最高温度对比如表 2 所示。由表可知,优化模型的最高温度和温差均比原试验模型值要低。

表 2 微通道液冷模型优化结果与原模型对比

Table 2 Comparison of optimization results of the microchannel liquid cooling model

模型	最高温度 /K	温差 /K
试验模型	309.74	9.74
优化模型	305.13	4.71

# 4 结论

本文建立了锂离子动力电池模型,并通过模型试验验证了模型的准确性。为优化电池组在高放电倍率下温度过大的问题,对模型的冷却通道重新建模,得到优化模型仿真的最高温度以及温差数据,与原模型进行对比,可得到以下结论:

- 1) 锂离子电池组在方形液冷板冷却条件下,冷却效果一般,而在高倍率 4*C* 放电工况下,电池的最高温差达 9.74 K。
- 2)采用微通道液冷的方式对电池进行优化,电 池在 4C工况下,电池的温差缩小至 4.71 K,同比降 低了 5.03 K,温差以及最高温度均达到预期优化目标。
- 3)在微通道热管理系统中,降低冷却液温度时 发现,并非冷却液温度越低越好,冷却液温度越低, 电池的最高温度也越低,但是电池的温差并没有得到 改善,相反产生了负面影响。
  - 4)冷却液温度与电池温差呈一定的线性关系。

## 参考文献:

- [1] AN Z J, JIA L, DING Y, et al. A Review on Lithium-Ion Power Battery Thermal Management Technologies and Thermal Safety[J]. Journal of Thermal Science, 2017, 26(5): 391-412.
- [2] 华 政,梁 风,姚耀春.电动汽车电池的发展现状与趋势[J].化工进展,2017,36(8):2874-2881. HUA Zheng, LIANG Feng, YAO Yaochun. Status and Development Trend for Battery of Electric Vehicles[J]. Chemical Industry and Engineering Progress, 2017,36(8):2874-2881.
- [3] 冯旭宁. 车用锂离子动力电池热失控诱发与扩展机理、建模与防控 [D]. 北京:清华大学, 2016. FENG Xuning. Thermal Runaway Initiation and Propagation of Lithium-Ion Traction Battery for Electric Vehicle: Test, Modeling and Prevention [D]. Beijing: Tsinghua University, 2016.
- [4] WANG Qingsong, PING Ping, ZHAO Xuejuan, et al. Thermal Runaway Caused Fire and Explosion of Lithium Ion Battery[J]. Journal of Power Sources, 2012, 208: 210–224.

- [5] KIZILEL R, LATEEF A, SABBAH R, et al. Passive Control of Temperature Excursion and Uniformity in High-Energy Li-Ion Battery Packs at High Current and Ambient Temperature[J]. Journal of Power Sources, 2008, 183(1): 370–375.
- [6] YE Yonghuang, SHI Yixiang, TAY A A O. Electro-Thermal Cycle Life Model for Lithium Iron Phosphate Battery[J]. Journal of Power Sources, 2012, 217: 509– 518.
- [7] 康燕语. 电池液冷系统的应用与验证研究 [J]. 机电技术, 2018, 41(4): 69-71.

  KANG Yanyu. Application and Verification of Battery Liquid Cooling System[J]. Mechanical & Electrical Technology, 2018, 41(4): 69-71.
- [8] PESARAN A A. Battery Thermal Models for Hybrid Vehicle Simulations[J]. Journal of Power Sources, 2002, 110(2): 377-382.
- [9] 阳 斌, 夏顺礼, 赵久志, 等. 电池组空气冷却技术 研究 [J]. 汽车实用技术, 2016(10): 24-26. YANG Bin, XIA Shunli, ZHAO Jiuzhi, et al. Forced Air Cooling Technology Research on Battery[J]. Automobile Technology, 2016(10): 24-26.

[10] 王彦红, 张成亮, 俞会根, 等. 相变材料在动力电

- 池热管理中的应用研究进展 [J]. 功能材料, 2013, 44(22): 3213-3218.

  WANG Yanhong, ZHANG Chengliang, YU Huigen, et al. The Progress of Phase Change Materials Applied in Battery Thermal Management[J]. Journal of Functional Materials, 2013, 44(22): 3213-3218.
- [11] 陈思彤, 李微微, 王学科, 等. 相变材料用于质子交换膜燃料电池的热管理 [J]. 化工学报, 2016, 67(增刊1): 1-6.

  CHEN Sitong, LI Weiwei, WANG Xueke, et al. Thermal Management Using Phase Change Materials for Proton Exchange Membrane Fuel Cells[J]. CIESC Journal, 2016, 67(S1): 1-6.
- [12] WANG Zhiwei, ZHANG Hengyun, XIA Xin. Experimental Investigation on the Thermal Behavior of Cylindrical Battery with Composite Paraffin and Fin

- Structure[J]. International Journal of Heat and Mass Transfer, 2017, 109: 958–970.
- [13] 李 罡, 黄向东, 符兴锋, 等. 液冷动力电池低温加热系统设计研究 [J]. 湖南大学学报 (自然科学版), 2017, 44(2): 26-33.

  LI Gang, HUANG Xiangdong, FU Xingfeng, et al.
  - LI Gang, HUANG Xiangdong, FU Xingfeng, et al. Design Research on Battery Heating and Preservation System Based on Liquid Cooling Mode[J]. Journal of Hunan University (Natural Sciences), 2017, 44(2): 26–33.
- [14] HUO Yutao, RAO Zhonghao, LIU Xinjian. Investigation of Power Battery Thermal Management by Using Mini-Channel Cold Plate[J]. Energy Conversion and Management, 2015, 89: 387-395.
- [15] 王晓斌, 覃 峰. 电池液冷板设计及试验研究 [J]. 制冷与空调, 2020, 20(5): 41-44, 55.
  WANG Xiaobin, QIN Feng. Design and Experimental Study of Battery Liquid Cooling Plate[J]. Refrigeration and Air-Conditioning, 2020, 20(5): 41-44, 55.
- [16] 蔡森林,魏名山,宋盼盼,等. 基于直流道液冷板的动力电池冷却性能仿真[J]. 汽车安全与节能学报, 2021, 12(3): 380-385.

  CAI Senlin, WEI Mingshan, SONG Panpan, et al. Cooling Performance Simulation of the Power Battery Pack Based on Straight Liquid Cooling Plate[J]. Journal of Automotive Safety and Engergy, 2021, 12(3): 380-
- [17] BERNARDI D, PAWLIKOWSKI E, NEWMAN J. A General Energy Balance for Battery Systems[J]. Journal of the Electrochemical Society, 1985, 132(1): 5-12.
- [18] 井文明,宋述军,张 寅. ANSYS 电池仿真与实例详解:流体传热篇 [M]. 北京: 机械工业出版社, 2021: 85-97.
  - JING Wenming, SONG Shujun, ZHANG Yin. ANSYS Battery Simulation and Example Detailed Explanation: Fluid Heat Transfer Chapter[M]. Beijing: China Machine Press, 2021: 85–97.

(责任编辑: 姜利民)